

1979年 Imperial Valley 地震の調査および解析

赤尾嘉彦
(大崎研究室)

§ 1. はじめに

Imperial Valley 地震は、1979年10月15日に米国とメキシコの国境付近で発生した地震である。マグニチュードは $M_L 6.6$ ($M_s 6.8$) の中規模なもので被害も軽微であり、これといった特徴のある地震ではない。しかし、この地震は以下の2つの理由により、地震学者や耐震工学者から大きな注目を集めた。

第一の理由は、過去の地震活動などから地震の発生が長期的に予測され、断層周辺に高密度の強震観測網が敷かれていたため、50以上の強震記録が得られたからである。1回の地震で得られた強震記録の数としては、1971年 San Fernando 地震のとき(約200記録)を下回る。しかし、このときの記録の多くはビルなどの構造物の中で得られたもので、断層近傍の地盤上で得られた記録は1例しかなかった。一方、Imperial Valley 地震は地表に生じた断層線から 10 km 以内だけでも 14 記録が得られた。観測点は断層を囲むように配置され、ほとんどが平坦な地盤上に設置されている。これらのデータは歴史上最も豊富かつ良質なものである。さらに、本震から 1 週間以内に震源やマグニチュードを同定可能な 82 個の余震が発生し、アメリカ側の強震観測点だけでも 260 以上の記録が得られられた (Porcella et al., 1982)。これらのデータは、断層面上の複雑なメカニズム解明の研究などに絶好の機会を与えた (たとえば、強震記録を用いた解析だけでも Hartzell & Helmberger, 1982; Olson & Apsel, 1982; Archeluta, 1982, 1984; Hartzell & Heaton, 1983; Fujino et al., 1984; Spudich & Cranswick, 1984 などがある)。

もう一つの注目される理由は、重力加速度を越える大加速度(上下動)を観測したことによる。この地震以外にも、1971年 San Fernando 地震の Pacoima ダム、1978 年 宮城県沖地震の 東北大学校舎、1984 年 Morgan Hill 地震の Coyote Lake ダムなどで重力加速度を越える大加速度が計器測定されている。しかし、これらの観

測地点は急峻な地形上や中層建物の最上階などであったため、観測記録は実際の入力地震動が大きく増幅されたものと解釈されてきた。今回の地震の大加速度記録は平坦な地盤上で得られたもので、これをそのまま入力地震動と考えるには耐震工学上極めて影響が大きい。

大崎研究室では、Imperial Valley 地震の大加速度の原因を究明するために1984年夏に常時微動測定などの現地調査を実施した。本報ではまず、この調査結果や文献資料を基に大加速度の原因究明を試みた。次に、震源域といわれる断層近傍の地震動の再現を試みた。この解析には、短周期地震動の推定に有効な方法と考えられる経験的グリーン関数法の一つを用いた。ところが、この方法では断層に非常に近い地点の地震動を過大評価することが分った。そこで、モーメント分布を考慮した新しい方法を提案し、断層近くの地震動まで再現することに成功した。

§ 2. 地震のメカニズム

2.1 Imperial 断層

Imperial Valley 地震は Imperial 断層上で発生した地震である。Imperial 断層は北米プレートと太平洋プレートのプレート境界上に位置する。この断層上では、図-1 に示すようにジオサーマル・エリアからプレートが拡大するのに伴い横ずれが生じる。この種の断層をトランスフォーム断層と呼ぶ。北隣りにある巨大な San Andreas 断層なども同じタイプの断層である。Imperial 断層上の相対移動速度は、地震活動度から 3 cm/年 (Brune, 1968), 地質年代と累積移動量から 8 cm/年と推定されている (Leivis, 1980)。このような地殻運動のため、Imperial 断層上では 30~50 年の間隔でマグニチュード 6.5 クラス以上の地震が繰返し発生している。

Imperial 断層上で発生した前回の地震は 1940 年 Imperial Valley 地震 ($M_L 6.4$, $M_s 7.1$) で、このとき断層

から 6 km 離れた El Centro 市内で世界最初の 300 gal を越す強震記録が得られた。この記録は通称エルセントロ地震波形と呼ばれ、長年にわたり耐震設計などで動的解析を行なう際の入力地震動として用いられてきた。

2.2 1979年 Imperial Valley 地震

強震観測網の初動記録の解析から、震源は国境の南 3 km の深さ 10 km のところと決定され (Chavez et al., 1982), 断層面の大きさは $35\text{km} \times 10\text{km}$, 走向は N 37°W , 傾斜は鉛直か、やや東に傾いていると推定される。余震分布は、本震からの時間の経過とともに北側に移行し、全体としても北に集中している。

地表に生じた断層ずれの跡は、震源のあるメキシコ側では発見されず、アメリカ側に長さ 30 km の断層ずれが生じた。すべり量は、本震から 1 日以内の調査で断層の南側に最大 60 cm 近い右横ずれが確認され、北側では東下がりの縦ずれが卓越していた (Sieh, 1980)。一方、Imperial 断層の約 7 km 東にある Brawley 断層でも、長さ 10 km にわたり最大 15 cm の西下がりの縦ずれが確認された。これらのずれは日が経つにつれ拡大している。

以上の事実から判断すると、南側の深い所で生じた破壊が北側の浅い所に向かって伝播し、主破壊は San Andreas 断層と整合する右横ずれで、Imperial 断層の北側部分と Brawley 断層の間に挟まれた三角地帯は、Imperial 断層の南側部分の動きに引きずられるように特異な落ち込み運動を生じたと推定される。

地震の断層パラメータを表-1 に示す。表中の地震モーメント (seismic moment) は Aki (1966) によって提案された地震の大きさを表わす指標であり、物理的には断層面積と平均くい違い量と剛性率の積で表わされ、実際の計算は世界各地で観測された長周期地震記録のフーリエ変換から求められる。Imperial Valley 地震の場合は、Kanamori & Regan (1982) によって $6 \sim 7 \times 10^{25}\text{dyne}\cdot\text{cm}$ と推定された。これに剛性率 $3 \times 10^{11}\text{dyne}/\text{cm}^2$ を仮定すると、平均くい違い量は $57 \sim 67\text{cm}$ となる。

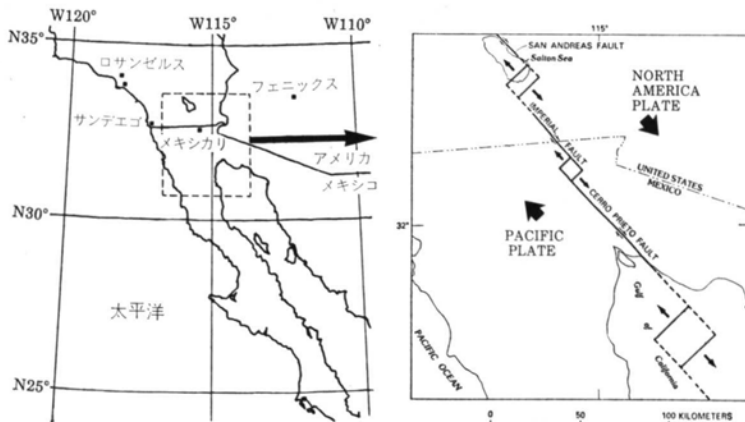


図-1 San Andreas 断層帶南部のプレート運動と断層の関係

origin time	Oct. 15, 1979, 23h16m54.29s (G.m.t.)
hypocenter	lat 32°38.61'N long 115°18.53'W
magnitude (cf. 5/18/1940)	M _L 6.6 Ms6.8 Mo = $7 \times 10^{25}\text{dyne}\cdot\text{cm}$ (M _L 6.4 Ms7.1 Mo = $56 \times 10^{25}\text{dyne}\cdot\text{cm}$)
fault plane	35 km × 10 km, depth 0 km
strike direction	N 34°W (global), N 36°W (trace average)
dip angle	90°E or 80°E
slip vector	67 cm rake 0°

表-1 本震の断層パラメータ

§ 3. 地震計の配置と観測記録

3.1 地震計の設置

Imperial 断層周辺には各機関による強震観測網が設置されている。アメリカ側の強震計は USGS, CDMG, その他の機関により管理されており、メキシコ側は UNAM と UCSD の共同、SAHOP により管理されている。USGS と CDMG の地上設置の強震計は光学記録方式の SMA-1 T か、これと同タイプの特性を有する加速度計が主である (Porcella et al., 1979)。UNAM/UCSD の地震計はフォース・バランス型のデジタル加速度計 DCA-310 や DSA-1 が主で、一部 SMA-I もある (Brune et al., 1982)。

図-2 に、強震記録の得られた観測点の中で断層近くにあるものの位置を示す。1940年の記録が得られた地点は El Centro アレー #9 で、写真-1 に示すような堅牢な建物内の 1 階床に置かれ、ここで観測された地震動には建物の影響が懸念される。しかし、これ以外の今回調査をした地点は、目視上地形や設置建物の影響は認められない。たとえば、写真-2 は 1.7 G (G : 重力加速度

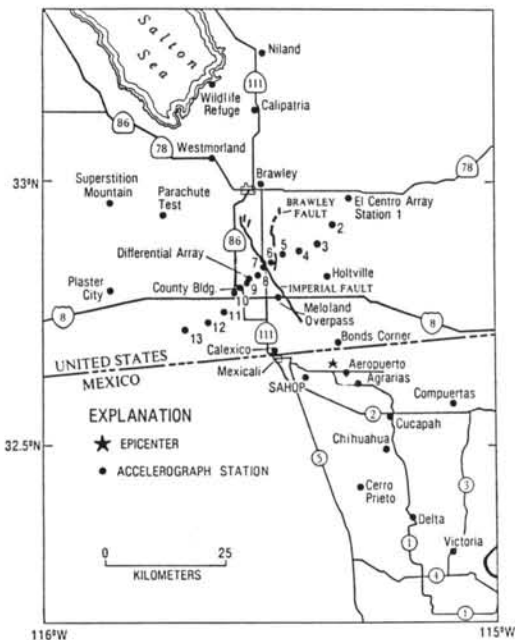


図-2 地表に生じた断層跡と強震記録の得られた観測点
(Porcella, 1984による)



写真-1 El Centro アレー #9 の地震計が設置されている変電所建物



写真-2 El Centro アレー #6 の周辺状況



写真-3 El Centro アレー #6 のシェルター



写真-4 El Centro アレー #7 の倉庫

度)の大加速度を記録した El Centro アレー #6 の周辺状況であるが、周囲はほぼ完全な平坦地で、地形の影響は考えられない。また、地震計は写真-3に示すプラスチック製のシェルターの中に納められ、コンクリート基礎の上にボルトで固定されており、シェルターや基礎台に異状は見られない。写真-4は、断層を挟んでアレー #6 と対称な位置にある El Centro アレー #7 のプレハブ倉庫である。#6 で 1.7G の上下動を記録したのに、#7 では 0.65G の上下動しか記録しなかった。地震計は 1 階床に設置され、建物はフレキシブルに見え、設置建物の影響は少ないと思われない。

3.2 観測記録

表-2 に、断層近くの主な観測点における最大加速度などを示す。また、図-3 に今回の観測に最も多く使われた SMA-1 と、日本の代表的な強震計である SMAC-B, SMAC-B₂ の周波数特性の比較を示す。SMA-1 は周波数 20 Hz 付近まではほぼフラットであり、計器補正をしなくとも高周波数成分までの振幅を再現できるように設

station	accommodation	instrument	trace distance	accelerogram	
				direct.	(G)
Westmorland Fire Station	Instrument shelter	SMA-1	13km	180° up 090°	0.11 0.09 0.08
Brawley** Airport	Instrument shelter	SMA-1	6km	315° up 225°	0.22 0.18 0.17
Parachute Test Site	1-story building	SMA-1	15km	315° up 225°	0.20 0.18 0.11
Array No.1	Instrument shelter	SMA-1	22km	230° up 140°	0.15 0.10 0.15
Array No.2**	Instrument shelter	SMA-1	16km	230° up 140°	0.43 0.17 0.33
Array No.3**	1-story building	SMA-1	13km	230° up 140°	0.22 0.15 0.27
Array No.4**	Instrument shelter	SMA-1	7km	230° up 140°	0.38 0.32 0.61
Array No.5**	Instrument shelter	SMA-1	4km	230° up 140°	0.40 0.71 0.56
Array No.6***	Instrument shelter	SMA-1	1km	230° up 140°	0.45 1.74 0.72
Array No.7**	1-story building	SMA-1	1km	230° up 140°	0.53 0.65 0.36
Array No.8**	Instrument shelter	SMA-1	4km	230° up 140°	0.50 0.55 0.64
Differential*** Array	1-story building	SMA-1 (DCA-300)	5km	360° up 270°	0.51 0.93 0.37
Array No.9*	2-story building	SMA-1	6km	down 360° 090°	0.38 0.40 0.27

station	accommodation	instrument	trace distance	accelerogram	
				direct.	(G)
Imperial** County Center	Instrument shelter	SMA-1	8km	092° up 002°	0.24 0.27 0.24
Imperial C. Services Build.	6-story building	CRA-1	8km	092° up 002°	0.32 0.19 0.29
Array No.10**	1-story building	SMA-1	9km	050° up 320°	0.20 0.15 0.23
Array No.11**	1-story building	SMA-1	13km	230° up 140°	0.38 0.16 0.38
Holtville** Post Office	1-story building	SMA-1	8km	315° up 225°	0.22 0.31 0.26
Meloland* overcrossing	undergrouns	CRA-1	1km	360° up 270°	0.32 0.23 0.30
Bonds Corner**	1-story building	SMA-1	3km	230° up 140°	0.81 0.47 0.66
Calexico** Fire Station	2-story building	SMA-1	9km	315° up 225°	0.22 0.21 0.28
Aeropuetro		SMA-1	2km†	045° up 315°	0.316 0.179 0.240
Agrarias		DCA-310	4km†	183° down 0.93°	0.280 — 0.227
Mexicali (SAHOP)		SMA-1	13km†	000° up 090°	0.311 0.332 0.459
Cucapah		DSA-1	14km†	085° up 355°	0.310 0.115 —

* 地震計の設置状況や周辺地形を調べた観測点

** 現地調査と常時微動測定をおこなった地点

*** 現地調査、常時微動測定に加えて速度測定をおこなった地点

震央距離

表-2 断層近くの主な強震計とその記録

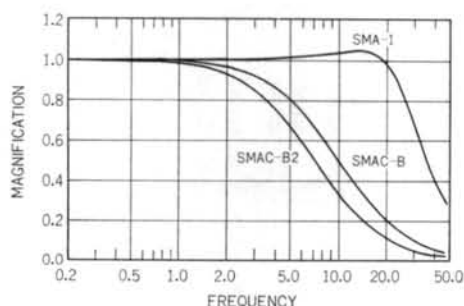
計されている。一方、SMAC は比較的低周波数成分を対象に設計されている。

§ 4. 地層構造の推定

4.1 Imperial Valley の地盤

Imperial Valley とは、カリフォルニア州南部からメキシコにかけて広がる東西の山脈に挟まれた沖積平野地帯を指す。ここは、カリフォルニア湾の延長上の Salton トラフの中に位置し、San Andreas 断層帶の一部を形成する。この辺一帯はほぼ海面下で、最も低い所は Salton 湖の中で -84m ある。この付近で新しい地殻が形成されていると思われる。

この地域の地盤構造の調査は、1975年に Shannon & Wilson (1976) によりアレー #9 (1940年の記録の取れた場所) で深さ 120m までのサンプリング室内試験と現位置 S 波検層が行なわれた。また、1979年に USGS による40回の発破試験により、深層地盤の P 波速度構造が調べられた (Fuis et al., 1981)。各強震観測点付近の表層地盤の調査は、1980年に USGS により 9 地点で 20~30m の深さまで電気コーン試験が、22 地点で深さ 75m



SMA-1: 固有周波数 25 Hz, 減衰 $h=0.6$

SMAC-B: 固有周波数 10 Hz, 減衰 $h=1.0$

SMAC-B₂: 固有周波数 7.07 Hz, 減衰 $h=1.0$

図-3 日米の代表的強震計の理論特性の比較

(一部 30m, アレー #9 は 250m) まで, P, S 検層試験と各種のサンプリング試験が実施された (Porcella, 1984).

これらの調査から, Imperial Valley の堆積層は北の Salton 湖付近で 3.7km, 南の国境付近で 4.8km, 東西の山に近い所ほど浅く, 谷の中心を通る Imperial 断層を境に東側が西側よりやや厚いことが分かった。また, El Centro 周辺では沖積土 (湖水生粘土, 堆積砂) が約 200m の層をなし, この層の S 波速度は 0.15~0.45km/s,

depth (km)	Vp (m/s)	Vs (m/s)	density (t/m^3)
0.00–0.11	1700	280	2.0
0.11–0.23	1700	530	2.0
0.23–0.30	1800	690	2.0
0.30–0.40	2400	850	2.1
0.40–1.40	2400	1200	2.2
1.40–2.30	3000	1500	2.3
2.30–3.00	3600	1800	2.5
3.00–5.25	4500	2430	2.7
5.25–	5800	3350	2.8

表—3 El Centro 市周辺の標準的な地層モデル
地下水水面下の P 波速度は 1.4~1.7 km/s と推定された。ただし、発破実験結果から 1 km 以下の浅い地層の構造を読み取ることは難しく、250m から 1 km までの中間層の速度構造は不明である。

4.2 地盤のモデル化

入力地震動の解析を行なうには、震源から観測点までの地盤構造を決める必要がある。そこで地盤を水平成層と仮定し、El Centro 周辺の地盤をモデル化した。表—3 はその結果で、240m より浅い地層は Porcella や Shannon & Wilson のアレー #9 の地点の試験結果を参考に決め、これより深い地層は Boore & Fletcher (1982) が推定した結果を参考に決めた。単位体積質量は深さ 300m までは 2.0 t/m^3 とし、これより深い所は Olson & Apsell (1982) を参考に決めた。

各観測点の地層は、表—3 に示した標準地層モデルの表層部分を、Porcella の結果と入れ替えてモデル化した。ただし、P, S 検層試験はボーリング坑と加振点が離れているため、一般に地表付近の速度を決めるのは難しい。今回の調査では常時微動測定の外に、大加速度を記録したアレー #6 と Differential Array (アレー #9 の近く) で地表に 10m 間隔で全長 40m の水平アレーを設定し、屈折法による S 波と P 波の速度測定を行なった。その結果、アレー #6 には表層に 300 m/s の P 波速度を有する層が認められたので、この地点の Porcella モデ

ルの速度構造を図—4 のように変更した。

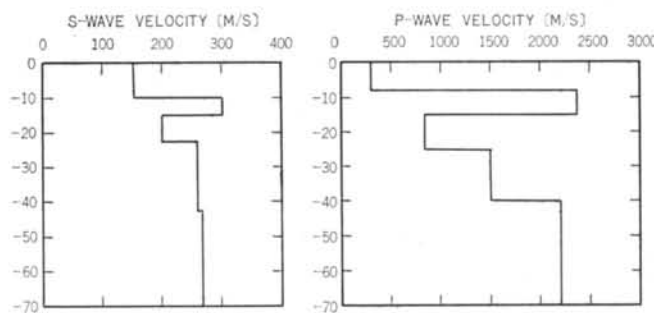
§ 5. 常時微動と地震動・地盤モデルとの比較

5.1 常時微動の測定方法

当初、強震観測点の表層地盤が不明であったため、常時微動測定を実施した。測定点は原則として断層線から 15km 以内のアメリカ側で、強震記録が得られた 15 地点とした。ただし、Meloland 立体交差路は立入許可が必要なため、アレー #9 は工学的な観点から、Imperial C. S. ピルは取り壊されて対象物がないなどの理由から測定を実施しなかった。測定は、写真—5, 6 のように原則として強震計と同じ台の上に微動計を置き、水平・上下 3 成分を同時に最低 20 分間測った。データはサンプリング間隔 51.2 Hz でデジタル化し、1024 データ (20 秒間) ごとにフーリエ変換し、20~35 個のアンサンブル平均を取った。計測器は固有振動数 5 Hz で超過減衰の電磁式速度計で、周波数特性は図—5 のように周波数 1~50 Hz の範囲ではほぼフラットである。

5.2 常時微動測定結果

田中・吉沢 (1975) は、常時微動 (水平成分) の速度記録と地震動の加速度記録のフーリエ・スペクトル形状が良く似ていることを日本のデータを用いて示した。一方が速度のスペクトルで、他方が加速度のスペクトルであるので両者の次元は矛盾する。それにもかかわらず両者のスペクトル形状が相似なのは、地表で観測される地震動が基盤からの増幅の結果であるのに対し、常時微動は地表近くの地盤の自由振動と考えられ、実地震動より短周期成分が増幅されているので、長周期成分を強調した速度記録が大体一致したと推定される。ただし、Udwadia & Trifunac (1973) は同じ El Centro 周辺で



図—4 アレー #6 の速度構造モデル



写真-5 強震計 SMA-1 と微動計（3成分）



写真-6 強震観測点での常時微動測定

行なった常時微動測定から、地震動と常時微動の関連性に否定的な結論を下していた。

今回の測定は、比較的硬質な地盤で地震動と常時微動にどのような関連があるか調べることも目的の一つであった。その結果を表-4に示す。この表は、本震動、常時微動、地盤モデルの卓越周期を比較したもので、本震動は加速度フーリエ・スペクトル、常時微動は速度フーリエ・スペクトル、地盤モデルは深さ300mから上の伝達関数のそれぞれの卓越周期を、振幅の大きい方から1～3個選んだものである。

5.3 上下動の比較

卓越周期が2割以下の誤差範囲にあるものを同一の振動モードによる增幅効果とみなすと、常時微動と地盤モデルの整合性は非常によいが、地震動はいずれとも合わない。この最大の理由は、多くの本震動の記録にはP波の主要部分が欠けているためと思われる。その他に、上下動には300mよりも深い地層からの増幅効果や、日時変動する地下水位の影響があるためと考えられる。

ただし、大加速度を記録したアレー#6では、図-6のように三者の卓越周期やスペクトル形状はよく一致する。これから、本震動にはP波の主要動が含まれ、8Hz付近にあるピークは表層の増幅効果が大きく作用してい

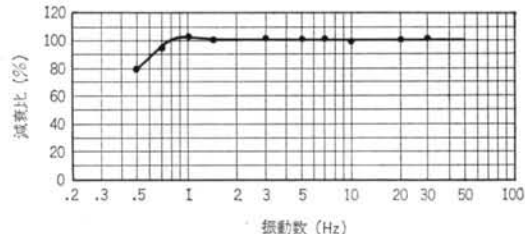


図-5 常時微動計の周波数特性

station	dir.	main shock (Hz)	microtremor (Hz)	transfer f. (Hz)
Array No.3	315°	2.2	2.2 / 7.4	1.1 / 0.5 / 1.7
	225°	1.6	2.2 / 1.8 / 7.4	
	U-D	5.6	2.3	12.8 / 16.3
Array No.6	230°	0.4	2.4	1.0 / 2.3 / 0.4
	140°	0.4	2.4	
	U-D	8.5	7.8	7.9
Array No.7	230°	1.3 / 0.4	1.8	2.4 / 1.1 / 0.5
	140°	0.9	2.2	
	U-D	-	19.5? / 10.6?	>20
Differential Array	N-S	0.8 / 1.6	2.1 / 2.7	1.1 / 0.5
	W-E	0.4 / -	2.6	
	U-D	10.1	12.8 / 3.1	13.5
Bonds Corner	230°	1.6	1.4	2.6 / 1.9 / 1.2
	140°	1.5	<0.5	
	U-D	-	13.2?	13.5 / 16.2
Calexico Fire Station	315°	1.8	3.2	1.2 / 0.5
	225°	2.1 / 1.8	2.9 / 2.0 / 0.3	
	U-D	8.8	12.5 / 3.2	8.8 / 11.4

表-4 地震動・常時微動・地盤モデルの卓越周期の比較すること、修正したP波の速度構造が妥当であったことが推定できる。また、図-7はImperial断層から見て対称な位置にあるアレー#6と#7の上下動加速度波形である。別に求めた積分波形から、両波形は大体同一の時刻と考えられるが、#6の波形には周期0.1秒前後で1G以上の振動が数回繰り返しているが、#7の波形には見られない。震源から、このような強力な波が一定時間間隔で、数波続けて伝播してきたとは到底考えられない。

以上の考察より、アレー#6の大加速度は地盤の増幅によって惹き起された疑いが非常に大きい。

さらに、図-6の地盤モデルのスペクトルでは大加速度を生じた8～10Hzは、この周期範囲外よりもさらに2～3倍増幅されている。もし、この計算どおりの増幅が生じていたとすれば、同じP波が異なる特性の地盤に入射した場合は最大加速度がこれよりかなり小さくなつたと思われる。ただし、地盤モデルのスペクトルのピークの高さは未知な地盤減衰量の与え方により大きく変動するもので、ここで与えた減衰量(5%)が妥当な値である保証はなく、基盤での入力地震動を見積ることは難しい。

5.4 水平動の比較

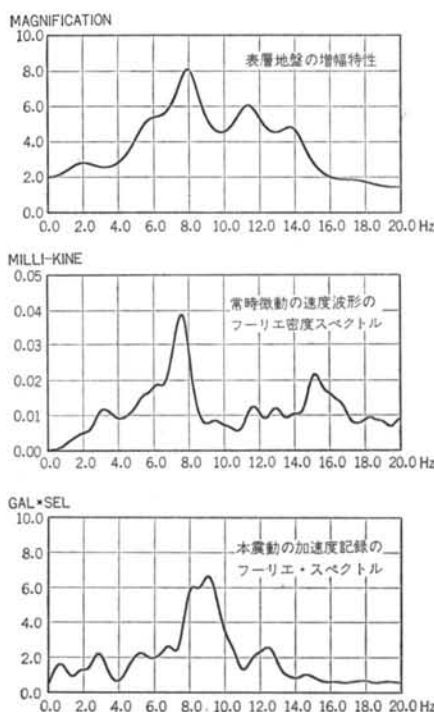


図-6 El Centro アレー #6 地点における上下動スペクトルの比較(本震動と常時微動は、単一のスペクトルにバンド幅1 Hz の Parzen ウィンドを掛けた結果)

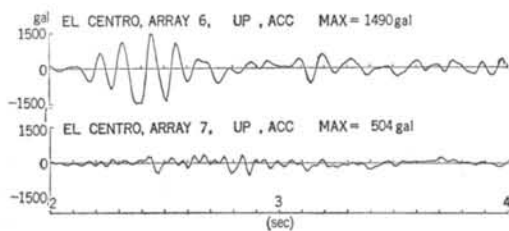


図-7 アレー #6 と #7 の上下動加速度波形(補正後)

地震動と常時微動のスペクトル形状には、田中らの調べた地盤のような相似性は見られない。両者の卓越周期が一致する割合は半分をやや下回るが、上下動のときよりもよく合っている。両スペクトル相互よりも、むしろ地盤モデルと両者との整合性が良い。つまり、300m からの地盤モデルは基盤からの增幅効果を含む地震動と、地表近くの振動である常時微動の中間の特性を持っていると推定できる。また、地盤モデルと常時微動の一貫性は、水平動より上下動の方が幾分よい。

以上の観測結果を解釈すると、波速の大きいP波の常時微動は深さ300m ぐらいからの地盤の影響を受け、波速の小さいS波の常時微動はこれより浅い地盤の影響を

受けると考えられる。

§ 6. 経験的グリーン関数法の適用

6.1 断層モデル理論

地震動の短周期成分を厳密に計算するには、複雑な断層面上のくい違い運動を正確に与え、断層震源から観測点に至るまでの地殻や地盤構造を忠実にモデル化し、さらに全体を数値モデルに置き替えてFEMなどで膨大な自由度の振動計算をするか、地殻・地盤モデルの点震源力に対する観測点での応答関数(グリーン関数)の式を作り、断層面上で変位を与えて数値積分する方法が考えられる。しかし、いずれの方法も現存の計算手段で短周期成分まで再現することは実現不可能である。また、短周期成分がどのような断層面上のメカニズムで発生しているのかすら解明されていない。

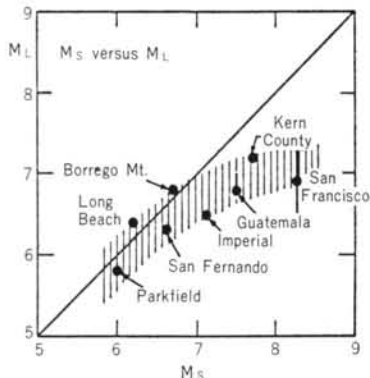
Hartzel (1978) は、このような煩雑な計算をする代わりに、本震とメカニズムや伝播経路や表層の増幅特性が似ている余震の観測波形をグリーン関数として用いるアイデアを示した。この方法は一般に経験的グリーン関数法と呼ばれ、地震動推定の有力な手段となっている。従来、この方法は余震などの中小地震を本震の地震モーメントと一致するように重ねることが原則と考えられてきた。しかし、周期1秒以下の短周期成分を合わせるために、著者ら¹³⁾が提案する2/3乗則を適用した方がよいと考えられる。

6.2 余震記録

本震から3分後に発生した最大級の余震記録を用いて本震動を再現することを試みた。Johnston (1982) による初期推定によれば、発震時間は23時19分29.98秒(GMT)、震源位置($32^{\circ}45.94'N, 115^{\circ}26.45'W$)、マグニチュード $M_L 5.0$ である。震源深さは不明であるが、断層の平均深さ5kmと仮定した。また、余震は断層面から1.4km南西に位置するが、この余震は断層面上で発生したと思われる。断層面の位置は比較的正確であるので、断層面上に載るように震源位置を修正した。

余震のモーメント M_0 は求められていないので、ローカル・マグニチュード M_L から経験式を用いて推定しなければならない。これには、 M_L と M_0 の直接の変換式を用いる方法と、 M_L を一度表面波マグニチュード M_S に変換し、精度のよい M_S と M_0 の関係式を用いる方法が考えられる。 M_L と M_0 の関係式は、Ohnaka (1978) が米国西部の中規模地震について提案した式が比較的信

表-5. 観測記録と合成波形の最大加速度の比較。

図-8 表面波マグニチュード M_s とローカル・マグニチュード M_L の関係 (Kanamori, 1979 による)

頗度が高いように思われる。

$$\log \frac{M_0 D}{L} (\text{erg}) = (1.88 \pm 0.08) M_L + (9.07 \pm 1.49) \quad (2 < M_L < 6.8)$$

ただし、 D は平均最終くい違ひ量、 L は断層のスケール（長さ、幅）である。一般に地震は $10^{-4} \sim 10^{-5}$ のひずみエネルギーの解放であるから、 $\log(D/L) = -4.5$ を仮定すると、

$$\log M_0 = 1.88 M_L + 13.6$$

となる。これに $M_L 5.0$ を代入するとモーメントは 1.0×10^{23} dyne·cm となる。

これとは別に、 M_s を媒介としてモーメントを求める。 M_L と M_s の関係には多くの式が提案されているが、図-8 のように $M_L 5.0$ 程度ならば、 $M_L \approx M_s$ としても大差はないと考えられる。そこで下式から $M_0 = 4.0 \times 10^{23}$ dyne·cm と推定した。

$$\log M_0 (\text{dyne} \cdot \text{cm}) = 1.5 M_s + 16.1$$

6.3 解析方法

余震のモーメントを 1.0×10^{23} dyne·cm とすると、本震とのモーメント比は 700 となる。また、 4.0×10^{23} dyne·cm とすると比は 175 となる。著者らの提案する原則に従って積ね合わせ数を求めるとき、それぞれ 79 と 31 となる。

ところで、余震の本震断層面上への配置方法には、断層面の相似形を重視して断層の長さと幅の両方向に同数ずつ分布させる方法がある（村松・入倉, 1982；田中ら, 1982）。しかし、相似形は比較的大きな地震について確認されたもので、そのばらつきもかなり大きく、M5 クラスの地震だと断層面は応力分布に無理の少ない円形か正方形に近い形状をしていると考えられる。また、余震をグリーン関数とみなすのであるから、余震を断層面上のできるだけ正方形に近い格子点に置くか、Hadley &

station	trace distance (km)	synthetic acceleration (G)		
		observed	uni-form	moment
Brawley Airport	6	0.28	0.26	0.22
Array No.1	22	0.21	0.22	0.21
Array No.2	16	0.54	0.35	0.43
Array No.3	13	0.35	0.52	0.35
Array No.4	7	0.72	0.97	0.59
Array No.5	4	0.69	1.41	0.96
Array No.6	1	0.85	2.32	1.02
Array No.7	1	0.64	1.29	0.65
Array No.8	4	0.81	0.88	0.64
Differential Array	5	0.63	0.53	0.64
Array No.9	6	0.47	0.77	0.62
Array No.10	9	0.30	0.23	0.21
Array No.11	13	0.54	0.52	0.46
Holtville Post Office	8	0.34	0.44	0.37
Bonds Corner	3	1.04	0.75	0.54
Calexico Fire Station	9	0.36	0.33	0.24

表-5 本震動最大加速度の観測値と推定値の比較

Helmburger (1980) のようにランダムに配置させた方がよいであろう。さらに、モーメント分布が解明されているならば、Kanamori (1979) のようにモーメント分布に従って配置させた方がよい。

今回の解析は、余震を正方形に近い形に配置させた場合と、モーメント密度を考慮した配置の 2通りについて行なった。モーメント密度は、剛性率 μ と最終くい違ひ量 D の積で決まる。剛性率は、表-3 に示したせん断波速度と単位体積質量から求まる。最終くい違ひ量の断層面上の分布は、Imperial Valley 地震について数種類提案されているが確定的な分布モデルはなく、剛性率ほど大きな変動がないので一様分布とした。立ち上がり時間は 1 秒前後と推定され、全体の破壊時間に対して微小なので無視した。破壊伝播速度は地殻のせん断波速度(3.3 km/s)の 8 割(2.7 km/s)とし、破壊様式は本震の震源から放射状に拡がると仮定した。

6.4 解析結果

積ね合わせ数 79 とした場合、ほとんどの観測点で合成結果が観測値を上回った。そこで、表-5 には積ね合わせ数 31 (モーメント 4.0×10^{23} dyne·cm) の例だけを示す。表中に示す加速度値は、水平 2 成分の最大加速度 A_N ,

A_E に対して以下の式より計算した値である。

$$A_H = \sqrt{A_N^2 + A_E^2}$$

余震を一様に配置した場合は、断層に近い所で最大加速度を過大に見積り易いが、モーメント分布を考慮した場合にはそれがない。また、断層の南側に位置する Calexico や Bonds Corner では観測値がやや大きいが、Fujino et al. (1984) のように断層の南側で強い破壊が生じたとすれば、このことが説明できる。

§ 7. 結論

1979年 Imperial Valley 地震の記録は、断層から約 1 km の地点で上下動が 1.7G という大加速度を記録した。この大加速度の原因は、特殊な断層メカニズムによる可能性もあるが、多くは観測地点特有の地盤の增幅効果によるものと推定される。ただし、他の地点でも上下動で 0.9G、水平動で 0.8G を記録しており、断層震源からもかなり強い地震波が発生したものと推定される。日本でこのような大加速度記録が観測されていないのは、震源

域の記録が少ないと地震計の特性によると考えられる。また、1 G に近い加速度を記録した地点付近には大きな建物の被害はなく、0.3G を記録した地点でビルが復旧不可能な被害を受けており、最大加速度と被害の関係は不明な点が多い。

常時微動の測定と解析では、表層地盤の增幅特性との関連が認められた。しかし、常時微動と地震動の関連はそれほど良くなかった。

経験的グリーン関数法は、短周期地震動の推定に有効な方法であることが確かめられた。ただし、断層面から数 km 以内のところの推定にはモーメント分布を考慮した方法が必要である。

謝辞 本研究は、大崎研究室の田中貞二・渡辺孝英・佐藤俊明・福島美光・壇一男の各氏と共同で行なった研究の一部¹⁾を発展させたものである。常時微動測定は Dr. Porcella (USGS), 三田彰 (UCSD 留学中), 渡辺弘之 (技術研究所) の各氏の協力を得て実施された。本文作成に当たっては、田中貞二氏に多くのご意見をいただいた。関係各位に深く感謝します。

〈参考文献〉

- 1) 大崎順彦他：“1979年 Imperial Valley 地震の調査および解析（その 1～3）” 日本建築学会大会学術講演梗概集 (1985)
- 2) U.S. Geological Survey : “The Imperial Valley, California, Earthquake of October 15, 1979” USGS Professional Paper, 1254 (1982)
- 3) Earthquake Engineering Research Institute : “Imperial County, California, Earthquake October 15, 1979” EERI Reconnaissance Report (1979)
- 4) J.N. Brune : “Seismic Moment, Seismicity and Rate of Slip Along Major Fault Zones” J. Geophys. Res., Vol. 73 (1968) pp. 777～784
- 5) A.G. Brady et al. : “The Imperial Valley Earthquake, October 15, 1979; Digitization and Processing of Accelerograph Records” USGS Open-File Report, 80-703 (1980)
- 6) Shannon & Wilson, Inc. & Agbabian Associates : “Geotechnical and Strong Motion Earthquake Data from U.S. Accelerograph Stations, Vol. I” (1976)
- 7) R.L. Porcella : “Geotechnical Investigation at Strong-Motion Stations in the Imperial Valley, California” USGS Open-File Report, 84-562 (1984)
- 8) S. Hartzell & D.V. Helmberger : “Strong-Motion Modeling of the Imperial Valley Earthquake of 1979” Bull. Seism. Soc. Am., Vol. 72 (1982) pp. 571～596
- 9) A.H. Olson & R.J. Apsel : “Finite Faults and Inverse Theory with Applications to the 1979 Imperial Valley Earthquake” Bull. Seism. Soc. Am., Vol. 72 (1982) pp. 1969～2001
- 10) 田中貞二・吉沢静代：“強震地動に含まれる地盤特性” 第4回日本地震工学シンポジウム講演集 (1975) pp. 161～168
- 11) F.E. Udwadia & M.D. Trifunac : “Comparison of Earthquake and Microtremor Ground Motions in El Centro, California” Bull. Seism. Soc. Am., Vol. 63 (1973) pp. 1227～1253
- 12) S.H. Hartzell : “Earthquake Aftershocks as Green's Function” Geophys. Res. Letters, Vol. 5 (1978) pp. 1～4
- 13) 赤尾嘉彦・伯野元彦：“短周期地震推定のための経験的グリーン関数法の 2/3 乗則” 第18回 地震工学研究発表会講演概要

- (1985)／Y. Fujino & Y. Akao : "2/3 Power Law in Empirical Green's Function Method for Synthesis of High Frequency Motion" Abstract of 23rd. IASPEI (1985)
- 14) M.Ohnaka : "Earthquake-Source Parameters Related to Magnitude" Geophys.J., Vol.55 (1978) pp.45~66
 - 15) 村松郁栄・入倉孝次郎：“大地震の強震動を予測する方法について” 自然災害科学 Vol.1 (1982) pp.29~43
 - 16) 田中貞二他：“小地震記録の合成による強震加速度特性の推定” 地震研究所彙報 Vol.57 (1982) pp.561~579
 - 17) D.Hadley & D.V.Helmberger : "Simulation of Strong Ground Motions" Bull. Seism. Soc. Am., Vol.70 (1980) pp.617~630
 - 18) H.Kanamori : "A Semi-Empirical Approach to Prediction of Long-Period Ground Motions from Great Earthquakes" Bull. Seism. Soc. Am., Vol.69 (1979) pp.1645~1670
 - 19) Y. Fujino et al. : "Multiple Event Analysis of 1979 Imperial Valley Earthquake Using Distinct Phase in Near-Field Accelerograms" Proc. of JSCE, No.344 (1984) pp.127~136